

**МОСКОВСКИЙ ГОСУДАРСТВЕННЫЙ УНИВЕРСИТЕТ  
имени М. В. Ломоносова**

---

**Физический факультет  
кафедра общей физики и физики конденсированного состояния**

**Методическая разработка  
по общему физическому практикуму**

**Лаб. работы №№74, 74а**

**ОПРЕДЕЛЕНИЕ ПОКАЗАТЕЛЯ  
ПРЕЛОМЛЕНИЯ ЖИДКИХ И  
ТВЕРДЫХ ТЕЛ**

**Описание составили доц. Пустовалов Г.Е. и доц. Талалаева Е.В.**

**Москва - 2012**

Подготовил методическое пособие к изданию доц. Авксентьев Ю.И.

# ОПРЕДЕЛЕНИЕ ПОКАЗАТЕЛЯ ПРЕЛОМЛЕНИЯ ЖИДКИХ И ТВЕРДЫХ ТЕЛ

## ТЕОРЕТИЧЕСКОЕ ВВЕДЕНИЕ

Напомним законы отражения и преломления света и рассмотрим ход лучей при явлении полного внутреннего отражения, которое используется для определения показателей преломления.

### Законы отражения и преломления света. Показатель преломления

Из опыта известно, что в однородной прозрачной среде свет распространяется прямолинейно. Однако, если луч света падает на границу раздела двух прозрачных сред, то происходит изменение направления его распространения: свет частично отражается от границы раздела этих сред, частично же преломляется и проходит во вторую среду.

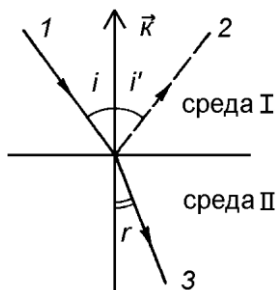


Рис. 1

*Закон отражения света:* угол падения  $i$  равен углу отражения  $i'$ . Луч падающий 1, луч отраженный 2 и нормаль к границе раздела сред, проведенная через точку падения, лежат в одной плоскости (рис. 1).

*Закон преломления света:* отношение синуса угла падения  $i$  к синусу угла преломления  $r$  для двух данных изотропных сред в случае монохроматического света есть величина постоянная (не зависящая от угла падения). Это отношение называется относительным показателем преломления второй среды по отношению к первой. Луч падающий 1, луч преломленный 3 и нормаль к границе раздела сред, проведенная через точку падения, лежат в одной плоскости (рис. 1). Относительный показатель преломления равен отношению скоростей распространения  $v_1$  и  $v_2$  монохроматического света в этих средах

$$\frac{\sin i}{\sin r} = \text{const} = n_{12} = \frac{v_1}{v_2}. \quad (1)$$

Если монохроматический свет падает на границу среды из вакуума, то показатель преломления среды по отношению к вакууму называют абсолютным показателем преломления (или просто показателем преломления). Очевидно, что абсолютный показатель преломления среды

$$n = c/v, \quad (2)$$

где  $c$  — скорость света в вакууме, а  $v$  — его скорость в данной среде. Для двух сред со скоростями распространения света  $v_1$  и  $v_2$  абсолютные показатели преломления соответственно  $n_1 = c/v_1$  и  $n_2 = c/v_2$ . Отсюда следует, что относительный показатель преломления второй среды по отношению к первой

$$n_{21} = \frac{n_2}{n_1}. \quad (3)$$

Среда, у которой абсолютный показатель преломления больше, считается оптически более плотной.

### Полное внутреннее отражение

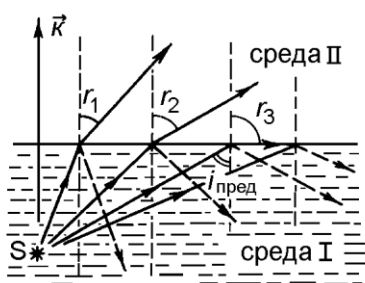


Рис. 2

При падении световой волны на границу раздела двух прозрачных сред происходит как отражение, так и преломление света. Энергия падающей волны распределяется между отраженной и преломленной волнами. При переходе света из оптически более плотной среды  $I$  в среду, оптически менее плотную  $II$  (рис. 2), луч света удаляется от нормали к границе раздела сред (угол преломления  $r$  больше угла падения  $i$ ). По мере увеличения угла падения энергия отраженного луча растет, а энергия преломленного луча падает. При некотором угле падения  $i_{\text{пред}}$ , называемом предельным углом, преломленный луч будет скользить по границе раздела сред (для него угол преломления  $r_3 = \pi/2$ ). При углах падения, превышающих  $i_{\text{пред}}$ , световая волна проникает в оптически менее плотную среду всего на расстояние порядка длины волны, а затем возвращается обратно, т.е. при углах падения  $i \geq i_{\text{пред}}$  световая волна в оптически менее плотную среду практически не проникает, а полностью отражается на границе раздела сред. Это явление носит название полного внутреннего отражения.

**Теория приборов ИРФ-22 и ИРФ-23**

Для измерения показателей преломления вещества служат приборы, называемые *рефрактометрами* («рефракция» переводится как преломление). Принцип действия рефрактометров, используемых в настоящих задачах, основан на определении угла преломления скользящего луча (угол падения  $90^\circ$ ), идущего вдоль границы раздела исследуемой среды с неизвестным показателем

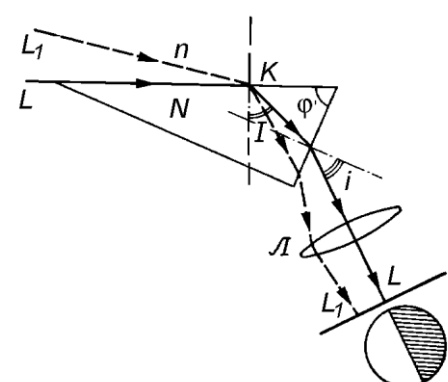


Рис. 3

преломления  $n$  и среды с известным показателем преломления  $N$ , при условии, что  $N > n$ . Главной частью рефрактометра является измерительная призма с преломляющим углом  $\varphi$ , изготовленная из стекла с показателем преломления  $N$  (рис. 3). Если вещество с неизвестным показателем преломления  $n$  заполняет пространство над верхней гранью призмы, то для скользящего луча  $LK$  согласно закону преломления

$$n \sin 90^\circ = N \sin I ,$$

или

$$n = N \sin I , \quad (4)$$

где  $I$  — предельный угол преломления. Формула (4) лежит в основе вычисления  $n$  для всех типов рефрактометров.

*В задаче №74* используется рефрактометр ИРФ-23, у которого измерительная призма является прямоугольной (рис. 4), т.е. ее преломляющий угол  $\varphi = 90^\circ$ . Для скользящего луча  $LK$  справедливо соотношение  $N \sin (90^\circ - I) = \sin i$ . Отсюда  $\cos I = (\sin i)/N$ , где  $i$  — угол между нормалью к вертикальной грани измерительной призмы и вышедшим из призмы лучом (показатель преломления воздуха здесь принят за единицу). Так как  $\sin I = \sqrt{1 - \cos^2 I}$ , то  $\sin I = \frac{\sqrt{N^2 - \sin^2 I}}{N}$ .

Подставляя это выражение в (4), получим формулу

$$n = \sqrt{N^2 - \sin^2 I} , \quad (5)$$

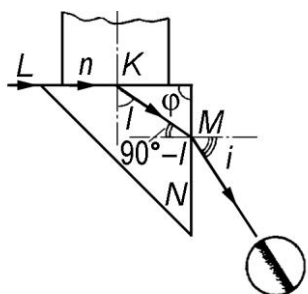


Рис. 4

по которой, зная показатель преломления  $N$  вещества измерительной призмы и измерив угол  $i$ , можно определить показатель преломления  $n$  неизвестного вещества. В приборе ИРФ-23 вещество освещается почти параллельным пучком лучей, падающих на верхнюю грань призмы под углом  $90^\circ$ , поэтому в поле зрения видна светлая полоска, резкий верхний край которой соответствует лучам, падающим под предельным углом (рис. 4).

*В задаче №74а* используется рефрактометр ИРФ-22, у которого измерительная призма имеет острый преломляющий угол  $\varphi$  (см. рис. 3). В этом случае формула для определения  $n$  усложняется и имеет вид

$$n = \sin \varphi \sqrt{N^2 - \sin^2 i} + \cos \varphi \sin i . \quad (6)$$

Здесь  $i$  — угол между направлением преломившегося под предельным углом луча после выхода его из призмы и нормалью к грани призмы. Из хода лучей (рис. 3) видно, что любой луч, падающий на призму под углом меньше  $90^\circ$ , по выходе из призмы будет составлять с нормалью к ее грани угол больше  $i$ . Поэтому при освещении от источника, дающего лучи с различными углами падения (что имеет место в интерферометре ИРФ-22) в фокальной плоскости

линзы  $L$  будет видна резкая граница раздела между светлым и темным полями (светлое поле соответствует лучам, падающим на верхнюю грань призмы под углом меньше  $90^\circ$ ).

## ЭКСПЕРИМЕНТАЛЬНАЯ ЧАСТЬ ЗАДАЧИ № 74

## **Описание прибора**

В рефрактометре *ИРФ-23* используются прямоугольные измерительные призмы, закрепляемые на столике прибора. При определении показателя преломления твердых тел из исследуемого вещества изготавливают кубик с хорошо отполированными гранями. Для соблюдения оптического контакта между гранью измерительной призмы и исследуемым веществом помещают каплю жидкости, показатель преломления которой больше, чем показатель преломления исследуемого вещества, но меньше, чем показатель преломления измерительной призмы. Введение между испытуемым веществом и призмой параллельного слоя жидкости не оказывает влияния на ход лучей в системе. Поэтому окончательная формула (5) для определения показателя преломления исследуемого вещества остается той же. При определении показателя преломления жидкостей употребляют измерительную призму с приклеенным к ней цилиндрическим сосудом, в который наливают исследуемую жидкость. Не останавливаясь более детально на оптической схеме *ИРФ-23* (с ней можно ознакомиться по описанию, имеющемуся у лаборанта), опишем назначение ручек управления прибора. Внешний вид рефрактометра показан на рис. 5.

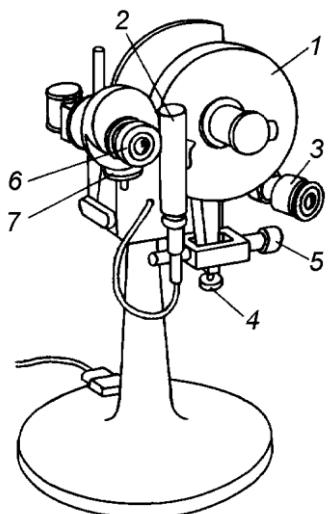


Рис. 5

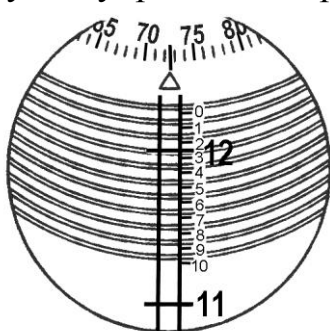


Рис. 6

Лимб помещается в кожухе 1. Для питания лампочки подсветки 2 рефрактометр подключается к сети переменного тока через понижающий трансформатор. Вращением оправы 3 окуляра зрительной трубы добиваются четкого изображения креста нитей в поле зрения трубы. Грубое вращение трубы производится вручную при освобожденном винте 4. Плавное вращение трубы осуществляется при затянутом винте 4 вращением головки 5. Вращая оправу 6 окуляра отсчетного микроскопа, можно получить четкое изображение шкалы лимба. При помощи маховичка 7 градуса по шкале лимба.

производится отсчет сотых и тысячных долей градуса по шкале лимба.

## Отсчет положения зрительной трубы

В поле зрения отсчетного микроскопа (рис. 6) видны градусная шкала с ценой деления  $1^\circ$ ; вертикальная неподвижная шкала, десять делений которой равняются одному делению градусной шкалы; двойные спирали, шаг которых равен одному делению неподвижной шкалы (десятой доле градуса) и расположенная сверху круговая шкала. При перемещении двойной спирали на одно деление вертикальной неподвижной шкалы указатель на круговой шкале пробегает 100 делений. Следовательно, одно деление круговой шкалы равно 0,001 градуса.

Определение положения зрительной трубы при помощи отсчетного микроскопа производится следующим образом. Число целых градусов определяется по штриху градусной шкалы, который находится в пределах неподвижной вертикальной шкалы (на рис. 6 отсчет дает  $12^\circ$ ) Десятые доли градуса определяются числом целых делений неподвижной вертикальной шкалы, которые уже пройдены штрихом градусной шкалы. На рис. 6 штрих, помеченный  $12^\circ$ , находится ниже деления неподвижной шкалы, обозначенного цифрой 2, что означает 0,2. Для определения части деления неподвижной шкалы служит спиральный микрометр (нониус). С помощью маховичка 7 (см. рис. 5) вращают двойные спирали в любом направлении до тех пор, пока градусный штрих не займет симметричного положения между линиями двойной спирали; тогда указатель круговой шкалы покажет на ней значение сотых, тысячных и десятитысячных долей градуса (десятитысячные доли отсчитываются на глаз). На рис. 6 положение круговой шкалы соответствует отсчету  $0,0725^\circ$ . Таким образом, приведенное на рис. 6 расположение всех шкал в поле зрения отсчетного микроскопа дает для положения зрительной трубы отсчет угла  $12,2725^\circ$ .

## Измерения

Включают через понижающий трансформатор лампочку подсветки. Настраивают по глазам окуляры зрительной трубы и отсчетного микроскопа.

### Нулевой отчет

Устанавливают оптическую ось объектива зрительной трубы перпендикулярно вертикальной грани измерительной призмы. Для этого, освободив винт 4 (см. рис. 5), вращают трубу вручную до появления в поле зрения отражения креста нитей и по возможности ближе совмещают отражение с самим крестом. Затянув винт 4, вращением головки 5 добиваются точного совмещения. Если такого совмещения сделать не удается, то добиваются симметричного расположения изображения относительно креста (рис. 7, а). Производят отсчет нулевого положения трубы, пользуясь отсчетным микроскопом, и записывают отсчитанное значение  $i_0$ .

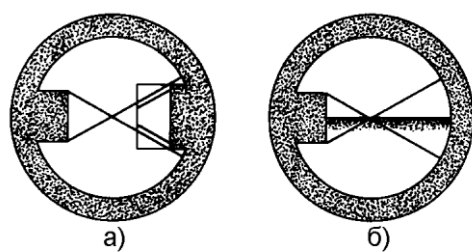


Рис. 7

## Определение показателя преломления жидкости

Закрепляют в рефрактометре измерительную призму со стеклянным цилиндром на верхней грани. Устанавливают источник света (газоразрядную натриевую лампу) и при помощи вспомогательной отражательной призмы направляют пучок света вдоль границы раздела между исследуемым веществом и измерительной призмой. Отпустив винт 4 (см. рис. 5), вращают зрительную трубу и добиваются, чтобы в нее попали преломленные в измерительной призме лучи. При этом в поле зрения трубы видна желтая полоса монохроматического света, соответствующего линии натрия D. Наводят центр креста нитей на верхнюю резкую границу полосы (рис. 7,б), пользуясь для точной наводки головкой 5 при затянутом винте 4. С помощью отсчетного микроскопа отсчитывают положение зрительной трубы. Отсчет производят пять раз, сбивая каждый раз наводку и проводя ее заново. Находят среднее значение угла  $i_1$ , определяющего положение трубы. Разность значений углов  $i_1$  и  $i_0$  дает величину угла  $i$ , входящего в формулу (5). Зная угол  $i$ , по таблице для измерительной призмы с данным показателем преломления  $N$ , прилагаемой к прибору, определяют показатель преломления исследуемой жидкости [таблицы составлены на основании формулы (5)].

## Определение показателя преломления стекла

В этом случае в качестве образцов используются кубики, изготовленные из исследуемых сортов стекла. Стеклянной палочкой на рабочую грань кубика наносят каплю альфамонобромнафталина, показатель преломления которого  $n_D = 1,6588$  при  $20^\circ\text{C}$ , и устанавливают кубик на горизонтальную поверхность измерительной призмы. Кубик и измерительная призма должны быть хорошо притерты друг к другу. В остальном порядок измерения тот же, что и при определении показателя преломления жидкости.

## ЭКСПЕРИМЕНТАЛЬНАЯ ЧАСТЬ ЗАДАЧИ № 74а

### Описание прибора

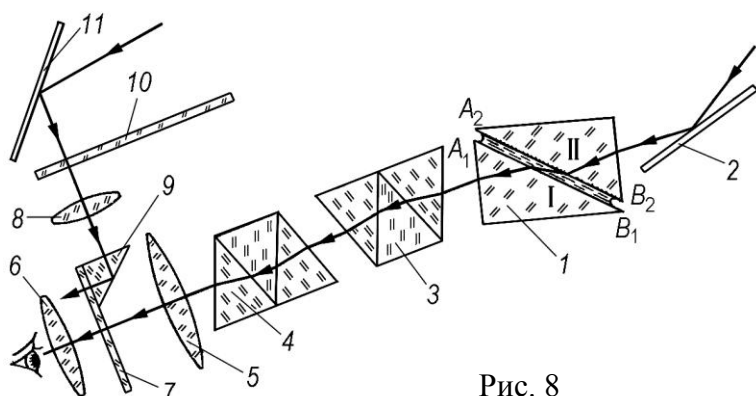


Рис. 8

Рефрактометр *ИРФ-22* типа Аббе предназначен для быстрого измерения показателей преломления жидкостей, но может употребляться и для измерения показателей преломления твердых тел, а также для определения средней дисперсии веществ.

Упрощенная оптическая схема рефрактометра показана на рис. 8. Основной деталью рефрактометра является стеклянный параллелепипед 1, состоящий из двух призм I и II, изготовленных из одного сорта стекла. Призма I имеет хорошо отполированную грань  $A_1B_1$  и является измерительной, а призма II имеет матовую грань  $A_2B_2$  и является осветительной. Для измерения показателя преломления жидкости несколько ее капель помещается в щель между призмами. Пучок света от какого-либо источника с помощью зеркала 2 направляется на осветительную призму. Вследствие рассеяния света ее матовой поверхностью в исследуемую жидкость лучи входят по различным направлениям. Среди этих лучей имеются лучи, скользящие вдоль грани  $A_1B_1$  призмы I, которые, проходя в эту призму, преломляются под предельным углом. Углы же преломления остальных лучей больше предельного. Выйдя из измерительной призмы, свет проходит через две дисперсионные призмы Амиачи

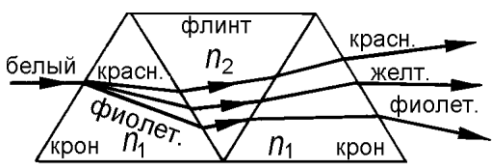


Рис. 9

прямого зрения 3 и 4 (о назначении этих призм будет сказано ниже) и попадает в зрительную трубу, состоящую из объектива 5, окуляра 6 и отсчетного приспособления 7, расположенного в фокальной плоскости объектива. В этой плоскости свет образует светлое и темное поля (см. рис. 3 на стр. 3).

Отсчетное приспособление представляет собой стеклянную пластинку. На одной части этой пластины нанесен крест, совмещаемый при измерениях с границей раздела темного и светлого полей. На другую часть пластины при помощи линзы 8 и призмы 9 проектируется изображение прозрачной шкалы 10, которая освещается от какого-либо источника пучком света, направляемым зеркалом 11. Таким образом, в поле зрения окуляра видны одновременно картина, образованная светом, прошедшим через измерительную призму, и изображение шкалы. Параллелепипед 1 связан с пластинкой, на которой нанесена шкала, механической передачей. При его повороте происходит перемещение шкалы и, следовательно, перемещение ее изображения в поле зрения окуляра.

Конструкция прибора предусматривает, что при совмещении креста с границей раздела светлого и темного полей указатель шкалы показывает сразу значение показателя преломления исследуемого вещества для монохроматического света, с длиной волны, соответствующей желтой линии натрия  $D$ .

При использовании источника белого света в измерительной призме происходит дисперсия света. В результате, граница раздела светлого и темного

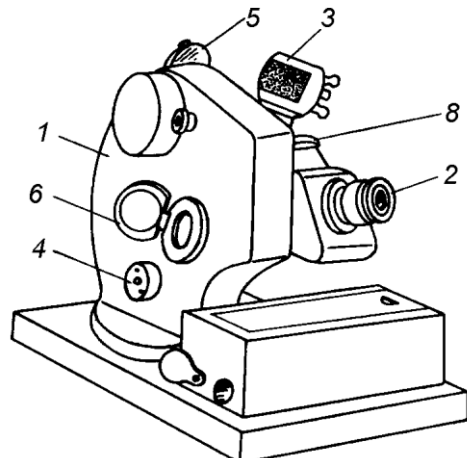


Рис. 10

полей, видная в окуляр, оказывается, вообще говоря, окрашенной и размытой. Для устранения окраски границы раздела полей служат дисперсионные призмы прямого зрения. Каждая из этих призм (рис. 9) составлена из трех призм: двух крайних, изготовленных из оптического стекла с малой дисперсией (крона), и средней — из стекла с большой дисперсией (флинта). Выходящий из такой системы свет оказывается разложенным в спектр. Преломляющие углы призм подобраны так, что луч, соответствующий некоторой длине волн (обычно длине волны желтой линии натрия  $D$ ), проходит систему без отклонения.

При прохождении света последовательно через две дисперсионные призмы 3 и 4 окончательная дисперсия зависит от ориентации призм по отношению друг к другу. Вращая одну из призм вокруг оси, идущей вдоль неотклоненного луча, можно получить любую дисперсию от нулевой до двойной по сравнению с дисперсией одиночной призмы. Таким образом, поворотом одной из дисперсионной призм можно компенсировать дисперсию света, возникшую в измерительной призме, и, следовательно, устраниТЬ окраску и размытие границы светлого и темного полей, наблюдавшихся в окуляр.

Внешний вид прибора представлен на рис. 10 и 11. Он состоит из корпуса 1, зрительной трубы 2, и измерительной головки 3. Измерительная головка состоит из двух литых полушарий. Верхнее полушарие закреплено

на шарнире и может откидываться. В нем находится осветительная призма. В нижнем полушарии находится измерительная призма. Поворот головки, происходящий совместно с перемещением шкалы, производится вращением маховика 4. На осветительную призму свет направляется при помощи зеркала 5, а на шкалу — при помощи зеркала 6. Поворот призмы компенсатора дисперсии измерительной призмы производится вращением маховика 7. По показаниям шкалы компенсатора 8 вычисляется величина дисперсии

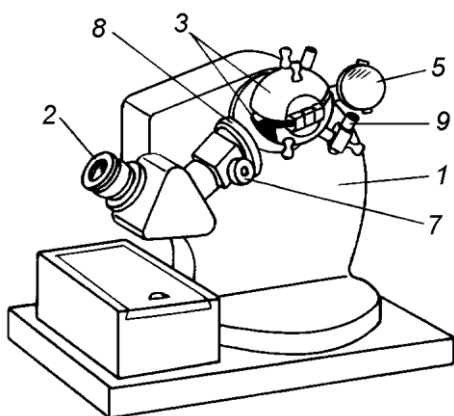


Рис. 11

исследуемого вещества.

### **Измерение показателя преломления жидкости**

Устанавливают источник света (настольную лампу) так, чтобы свет падал на зеркала 5 и 6 (могут быть использованы и две лампы). Глядя в окуляр зрительной трубы, вращением оправ зеркал добиваются яркой и равномерной освещенности поля зрения. Вращая оправу окуляра, фокусируют его на крест и изображение шкалы. Откладывают верхнее полушарие измерительной головки и наносят с помощью стеклянной палочки на поверхность измерительной призмы

несколько капель исследуемой жидкости. Осторожно закрывают головку. Исследуемая жидкость должна полностью заполнить зазор между измерительной и осветительной призмами. Смотря в окуляр, вращают маховичок 4 и находят границу раздела светлого и темного полей. Вращением маховичка 7 устраняют ее окраску. С помощью маховичка 4 устанавливают крест возможно точнее на границе раздела полей и снимают по шкале значение показателя преломления (индексом для отсчета служит неподвижный горизонтальный штрих). Целые, десятые, сотые и тысячные доли отсчитывают по делениям шкалы, а десятитысячные оценивают на глаз. Шкала показателя преломления рассчитана на  $20^{\circ}\text{C}$ .

### **Измерение показателя преломления твердого тела**

Перед работой верхнее полушарие измерительной головки откидывают и при дальнейшей работе измерительную головку не закрывают. Соприкасающиеся поверхности образца и измерительной призмы протирают спиртом и чистой салфеткой. Для соблюдения оптического контакта между гранью измерительной призмы и исследуемым веществом помещают каплю жидкости, показатель преломления которой больше, чем показатель преломления измерительной призмы. Введение между образцом и призмой параллельного слоя жидкости не оказывает влияния на ход лучей в системе. Обычно для этой цели служит монобромнафталин. Каплю жидкости помещают на полированную поверхность образца при помощи стеклянной палочки с закругленным концом. Накладывают образец полированной гранью на измерительную призму так, чтобы его матовая грань, образующая с полированной гранью острое ребро, была обращена к источнику света. При установке образца плоскость его соприкосновения с измерительной призмой должна принимать равномерную окраску. Измерение показателя преломления далее производится так же, как и в случае жидкости.

### **Измерение средней дисперсии**

Мерой дисперсии может служить *средняя дисперсия*  $n_F - n_C$ , характеризующая изменение показателя преломления вещества в пределах видимой части спектра ( $n_F$  и  $n_C$  — значения показателя преломления для длин волн  $\lambda_F = 6563 \text{ \AA}^0$  и  $\lambda_C = 4861 \text{ \AA}^0$ , соответствующих красной и синей линиям водородного спектра). Для измерения средней дисперсии жидких и твердых веществ исследуемый объект устанавливают так же, как и при измерении показателя преломления. Находят показатель преломления, который здесь будет обозначаться  $n_D$ , так как рефрактометр дает значение показателя преломления для длины волны, соответствующей желтой линии натрия  $D$ .

Дисперсия определяется отсчетом положения призмы компенсатора по шкале 8 при полном устранении окраски границы раздела полей с помощью

маховичка 7 (рис. 11) и характеризуется числом  $Z$  делений шкалы компенсатора. Если после устранения окраски вращать маховичок 7 в ту же сторону до противоположного, но равного (или почти равного) значения  $Z$ , то граница раздела вторично получится бесцветной. При измерениях следует производить не менее пяти отсчетов с двух сторон шкалы компенсатора и находить среднее арифметическое всех этих отсчетов. Для измеренного значения показателя преломления  $n_D$  находят по табл.1 величины  $A$  и  $B$ . Если такого показателя в таблице не окажется, то величины  $A$  и  $B$  получают интерполяцией, пользуясь таблицей пропорциональных частей. Для полученного значения  $Z$  находят по табл.2 величину  $\sigma$ . Для дробных значений  $Z$  величину  $\sigma$  определяют также интерполяцией при помощи той же таблицы пропорциональных частей. Необходимо учитывать, что для  $Z$  больше 30 величина  $\sigma$  принимает отрицательные значения. По найденным величинам  $A$ ,  $B$  и  $\sigma$  вычисляют значение средней дисперсии:  $n_F - n_C = A + B\sigma$ . Пример записи результатов измерения и нахождения средней дисперсии приведен ниже.

## Таблицы для определения средней дисперсии

Таблица 1

$n_D$	A	$\Delta$	B	$\Delta$
1.300	0.02437	-6	0.03168	-13
1.310	0.02431	-6	0.03155	-14
1.320	0.02425	-5	0.03141	-16
1.330	0.02420	-5	0.03125	-17
1.340	0.02415 0	-5	0.03108	-19
1.350	0.02410	-5	0.03089	-20
1.360	0.02405	-4	0.03069	-22
1.370	0.02401	-5	0.03047	-24
1.380	0.02396	-4	0.03023	-25
1.390	0.02392	-4	0.02998	-27
1.400	0.02388	-4	0.02971	-29
1.410	0.02384	-4	0.02942	-30
1.420	0.02380	-4	0.02912	-32
1.430	0.02376	-3	0.02880	-34
1.440	0.02373	-3	0.02846	-36
1.450	0.02370	-3	0.02810	-37
1.460	0.02367	-3	0.02773	-39
1.470	0.02364	-2	0.02734	-41
1.480	0.02362	-3	0.02693	-43
1.490	0.02359	-2	0.02650	-45
1.500	0.02357	-1	0.02605	-47

Таблица 2

$Z$	$\sigma$	$\Delta$	$Z$
0	1.000	-1	60
1	0.999	-4	59
2	0.995	-7	58
3	0.988	-	57
4	0.978	10	
5	0.966	-	56
6	0.951	12	
7	0.934	-	55
8	0.914	15	
9	0.891	-	54
10	0.866	17	
11	0.839	-	53
12	0.809	20	
13	0.777	-	52
14	0.743	23	
15	0.707	-	51
16	0.669	25	
17	0.629	-	50
18	0.588	27	
19	0.545	-	49
20	0.500	30	
		-	48
		32	
		-	47
		34	
		-	46
		36	
		-	45
		38	
		-	44
		40	
		-	43
		41	
		-	42
		43	
		-	41
		45	
		-	40

				46
1.510	0.02356	0.02558	-21	-
1.520	0.02354	0.02509	-49	39
1.530	0.02353	0.02457	-52	-
1.540	0.02352	0.02403	-54	38
1.550	0.02352	0.02346	-57	49
1.560	0.02352	0.02287	-59	-
1.570	0.02352	0.02225	-62	37
1.580	0.02353	0.02160	-65	49
1.590	0.02354	0.02092	-68	-
1.600	0.02356	0.021021	-71	36
1.610	0.02358	0.01947	-74	50
1.620	0.02361	0.01869	-78	-
1.630	0.02365	0.01786	-83	35
1.640	0.02370	0.01698	-88	51
1.650	0.02376	0.01605	-93	-
1.660	0.02383	0.01506	-99	34
1.670	0.02391	0.01400	-	52
1.680	0.02400	0.01286	106	-
1.690	0.02411	0.01162	-	33
1.700	0.02425	0.01025	114	-

## Пропорциональные части

	1	2	3	4	5	6	7	8	9	10	11	12
1	0.1	0.2	0.3	0.4	0.5	0.6	0.7	0.8	0.9	1.0	1.1	1.2
2	0.2	0.4	0.6	0.8	1.0	1.2	1.4	1.6	1.8	2.0	2.2	2.4
3	0.3	0.6	0.9	1.2	1.5	1.8	2.1	2.4	2.7	3.0	3.3	3.6
4	0.4	0.8	1.2	1.6	2.0	2.4	2.8	3.2	3.6	4.0	4.4	4.8
5	0.5	1.0	1.5	2.0	2.5	3.0	3.5	4.0	4.5	5.0	5.5	6.0
6	0.6	1.2	1.8	2.4	3.0	3.6	4.2	4.8	5.4	6.0	6.6	7.2
7	0.7	1.4	2.1	2.8	3.5	4.2	4.9	5.6	6.3	7.0	7.7	8.4
8	0.8	1.6	2.4	3.2	4.0	4.8	5.6	6.4	7.2	8.0	8.8	9.6
9	0.9	1.8	2.7	3.6	4.5	5.4	6.3	7.2	8.1	9.0	9.9	10.8
	13	14	15	16	17	19	20	22	23	24	25	27
1	1.3	1.4	1.5	1.6	1.7	1.9	2.0	2.2	2.3	2.4	2.5	2.7
2	2.6	2.8	3.0	3.2	3.4	3.8	4.0	4.4	4.6	4.8	5.0	5.4
3	3.9	4.2	4.5	4.8	5.1	5.7	6.0	6.6	6.9	7.2	7.5	8.1
4	5.2	5.6	6.0	6.4	6.8	7.6	8.0	8.8	9.2	9.6	10.0	10.8
5	6.5	7.0	7.5	8.0	8.5	9.5	10.0	11.0	11.5	12.0	12.5	13.5
6	7.8	8.4	9.0	9.6	10.2	11.4	12.0	13.2	13.8	14.4	15.0	16.2
7	9.1	9.8	10.5	11.2	11.9	13.3	14.0	15.4	16.1	16.8	17.5	18.9
8	10.4	11.2	12.0	12.8	13.6	15.2	16.0	17.6	18.4	19.2	20.0	21.6
9	11.7	12.6	13.5	14.4	15.3	17.1	18.0	19.8	20.7	21.6	22.5	24.3
	29	30	32	34	36	37	38	39	40	41	43	45
1	2.9	3.0	3.2	3.4	3.6	3.7	3.8	3.9	4.0	4.1	4.3	4.5
2	5.8	6.0	6.4	6.8	7.2	7.4	7.6	7.8	8.0	8.2	8.6	9.0
3	8.7	9.0	9.6	10.2	10.8	11.1	11.4	11.7	12.0	12.3	12.9	13.5
4	11.6	12.0	12.8	13.6	14.4	14.8	15.2	15.6	16.0	16.4	17.2	18.0
5	14.5	15.0	16.0	17.0	18.0	18.5	19.0	19.5	20.0	20.5	21.5	22.5
6	17.4	18.0	19.2	20.4	21.6	22.2	22.8	23.4	24.0	24.6	25.8	27.0
7	20.3	21.0	22.4	23.8	25.2	25.9	26.6	27.3	28.0	28.7	30.1	31.5
8	23.2	24.0	25.6	27.2	28.8	29.6	30.4	31.2	32.0	32.8	34.4	36.0
9	26.1	27.0	28.8	30.6	32.4	33.3	34.2	35.1	36.0	36.9	38.7	40.5
	46	47	49	50	51	52	54	57	59	62	65	68
1	4.6	4.7	4.9	5.0	5.1	5.2	5.4	5.7	5.9	6.2	6.5	6.8
2	9.2	9.4	9.8	10.0	10.2	10.4	10.8	11.4	11.8	12.4	13.0	13.6
3	13.8	14.1	14.7	15.0	15.3	15.6	16.2	17.1	17.7	18.6	19.5	20.4
4	18.4	18.8	19.6	20.0	20.4	20.8	21.6	22.8	23.6	24.8	26.0	27.2
5	23.0	23.5	24.5	25.0	25.5	26.0	27.0	28.5	29.5	31.0	32.5	34.0
6	27.6	28.2	29.4	30.0	30.6	31.2	32.4	34.2	35.4	37.2	39.0	40.8
7	32.2	32.9	34.3	35.0	35.7	36.4	37.8	39.9	41.3	43.4	45.5	47.6
8	36.8	37.6	39.2	40.0	40.8	41.6	43.2	45.6	47.2	49.6	52.0	54.4
9	41.4	42.3	44.1	45.0	45.9	46.8	48.6	51.3	53.1	55.8	58.5	61.2
	71	74	78	83	88	93	99	106	114	124	137	

1	7.1	7.4	7.8	8.3	8.8	9.3	9.9	10.6	11.4	12.4	13.7	
2	14.2	14.8	15.6	16.6	17.6	18.6	19.8	21.2	22.8	24.8	27.4	
3	21.3	22.2	23.4	24.9	26.4	27.9	29.7	31.8	34.2	37.2	41.1	
4	28.4	29.6	31.2	33.2	35.2	37.2	39.6	42.4	45.6	49.6	54.8	
5	35.5	37.0	39.0	41.5	44.0	46.5	49.5	53.0	57.0	62.0	68.5	
6	42.6	44.4	46.8	49.8	52.8	55.8	59.4	63.6	68.4	74.4	82.2	
7	49.7	51.8	54.6	58.1	61.6	65.1	69.3	74.2	79.8	86.8	95.9	
8	56.8	59.2	62.4	66.4	70.4	74.4	79.2	84.8	91.2	99.2	109.6	
9	63.9	66.6	70.2	74.7	79.2	83.7	89.1	95.4	102.6	111.6	123.3	

## Пример

### Определение средней дисперсии

Отсчеты по шкале компенсатора

По одной стороне	По другой стороне
41,7	42,1
41,7	42,2
41,6	42,0
42,0	41,9
41,8	41,9
Ср. 41,8	Ср. 42,0
Общее среднее: Z = 41,9	

Вода при  $20^{\circ}\text{C}$ ,  $n_D = 1,3330$ . При помощи таблиц получается:

$$A = 0,02418, B = 0,03120, \sigma = -0,584 n_F - n_C = A + B\sigma = 0,02418 - 0,01822 = 0,00596.$$

## ЛИТЕРАТУРА

- Белов Д.В. Электромагнетизм и волновая оптика.- МГУ, 1994: §§ 44, 45 или
- Белов Д.В., Пустовалов Г.Е. Оптика (ч. IY Краткого курса общей физики).- МГУ, 1982: §§ 29, 30.